

고출력 레이저-증폭기 계열의

Isolator 설계 -**(III)**-

(Design of an Isolator of High Power

Laser-Amplifier Series-(III))

나승한, 김윤명, 이상수

○ 단국대학교 전자공학과 ○ 한국과학기술원 물리학과

Seung-Han Ra, Youn-Myung Kim, Sang-Soo Lee

○ Dept. of Electronics Engineering, Dankook University

○ Dept. of Physics, Korea Advanced Institute of Science
and Technology

Abstract

A Faraday rotator is designed with the HOYA FR-5 rotator glass. We find that traveling light rotates 45° in the glass when magnetic field intensity is about $3.0 \times 10^5 \text{AT/m}$.

The current of 2.7 kA flowing in the coil of the 9 cm diameter, 28 cm long and 41 windings generates this magnetic field.

A pulse forming network is designed for this current of 84 μsec duration. The network is analyzed numerically to find the relevant circuit parameters for the flattest current waveform.

1. 서론

광이 어떤 매질 속을 진행하다가 굽질을 다른 매질로 진행하여 기면 두 매질의 경계면에서 일정량의 반사가 일어나게 된다. 이러한 반사는 대개는 무반사 coating에 의하여 그 크기가 작지만 큰 출력의 LASER 증폭기 system에서는 반사된 광이 증폭되어 입력단에 손상을 입힐 수 있으므로 이러한 반사광으로부터 입력단을 보호하기 위한 하나의 방법으로 Faraday rotator 가 쓰이기 된다.

이 rotator에는 일정시간 동안 강한 자기가 요구되는데 이를 생성시키기 위하여 일정시간동안 지속되는 고 전류가 필요하다. 여기서는 이 장치에 필요한 자계와 전류를 구하고 이러한 전류를 흘르게 하기위한 PFN (Pulse Forming Network) 을 설계하고 computer 을 이용하여 예상되는 전류의 파형을 계산하였다.

2. 본론

$$1 \text{ AT/m} = 4\pi \times 10^{-3} \text{ Oe}$$
 (4)

2.1) Faraday rotator 의 설계

Faraday rotator 의 구조가 다음과 같을 때 이를 통과한 광이 입사된 광과 45° 의 편광각의 차를 갖기하기 위해서 다음 식을 이용한다 [1].

$$\theta = VDH$$
 (1)

여기서 θ 는 광의 회전각이며, V 는 Verdet 상수이고, D 는 광 회전기의 길이이고, H 는 회전기 내부에서 자계의 세기이다.

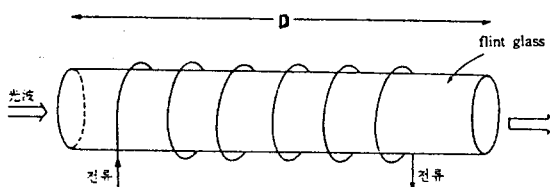


그림 1. Faraday rotator

이 설계에서 사용되는 glass 의 사양은 다음과 같다 [2].

rotator glass : HOYA FR-5

length : 10 cm

diameter : 17 mm

Verdet constant : -0.071 min/0e-cm

여러한 규격의 rotator glass 로 45° 의 회전각을 얻기 위해서 필요한 자계를 구하려면 다음과 같은 과정이 필요하다.

$$45^\circ = 2.700 \text{ min} = 0.071 \times 10 \times H \text{ min}$$
 (2)

$$H = 3.802 \text{ Oe}$$
 (3)

단위로서 Oe (Oersted) 은 자계의 세기인 H 의 AT/m 및 자속밀도 B 의 Wb/m^2 의 단위로 바꾸기 위한 환산식은 다음과 같다.

따라서

$$H = 3.802 / (4\pi \times 10^{-3}) \text{ AT/m}$$

$$= 3.026 \times 10^5 \text{ AT/m}$$
 (5)

$$B = \mu_0 H = 3.802 \times 10^{-4} \text{ Wb/m}^2$$

$$= 3.802 \text{ kGauss}$$
 (6)

여러한 자계를 얻기 위한 coil 의 전류를 구해보자. Faraday rotator에서 coil 은 solenoid 구조로 되어 있으므로 다음의 그림과 같은 solenoid 구조의 loosely distributed magnetic field에 대해 풀면 다음과 같다.

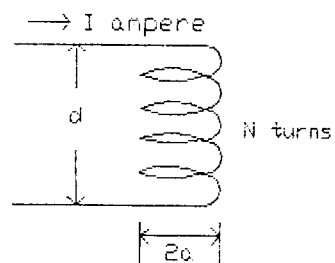


그림 2. solenoid 구조

$$Hd = kNI \quad (k \approx 0.8)$$
 (7)

$$H = kNI/d$$
 (8)

$$B = \mu_0 H = \mu_0 kNI/d$$
 (9)

$$\Phi = BA = \mu_0 kNI \cdot \pi a^2 / d$$
 (10)

$$L = N\Phi/I = \pi \mu_0 kN^2 a^2 / d$$
 (11)

여기서 NRL (Naval Research Lab.) 의 design 대로 따르면 [3].

$$a = 4.5 \times 10^{-2} \text{ meter}$$
 (12)

$$N = 41 \text{ turns}$$
 (13)

$$d = 0.29 \text{ meter}$$
 (14)

이고, 축정된 solenoid 의 inductance 는 $39 \mu H$

이다. 그런데 앞의 식(11)에 의한 값은 $37 \mu H$

이므로 k 의 값이 타당함을 알 수 있다. 또한 이

구조의 solenoid 에서는,

$$\begin{aligned} I &= Hd/kN \\ &= (3.026 \times 10^5) \times 0.29/(0.8 \times 41) \\ &= 2.675 A \end{aligned} \quad (15)$$

가 되면 45° 의 광 회전이 가능하다.

L) PFN (Pulse Forming Network) 의 수치해석

전압 V_3 와 전류 i_3 에 대한 계산결과의 파형은

부록에 실어 놓았으니 참고 바란다.

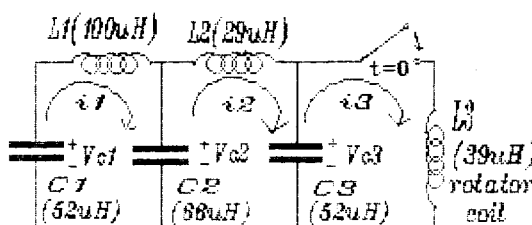


그림 3. PFN 의 회로도

여기서는 전이행렬 (transition matrix) 을

이용한 전류와 전압의 해석 방법에 관해

설명하겠다 [43][53]. 먼저 이 회로에 대한

방정식을 세우면 다음과 같다.

$$V_{c1} = L_1 \frac{di_1}{dt} + V_{c2} \quad (16)$$

$$V_{c2} = L_2 \frac{di_2}{dt} + V_{c3} \quad (17)$$

$$V_{c3} = L_3 \frac{di_3}{dt} \quad (18)$$

$$i_1 = -C_1 \frac{dV_{c1}}{dt} \quad (19)$$

$$i_2 = i_1 - C_2 \frac{dV_{c2}}{dt} \quad (20)$$

$$i_3 = i_2 - C_3 \frac{dV_{c3}}{dt} \quad (21)$$

이를 상태방정식으로 고치기 위하여 정리하면.

$$\frac{dV_{c1}}{dt} = -\frac{i_1}{C_1} \quad (22)$$

$$\frac{dV_{c2}}{dt} = -\frac{i_2}{C_2} \quad (23)$$

$$\frac{dV_{c3}}{dt} = -\frac{i_3}{C_3} \quad (24)$$

$$\frac{di_1}{dt} = -\frac{1}{L_1}(V_{c1}-V_{c2}) \quad (25)$$

$$\frac{di_2}{dt} = -\frac{1}{L_2}(V_{c2}-V_{c3}) \quad (26)$$

$$\frac{di_3}{dt} = \frac{V_{c3}}{L_3} \quad (27)$$

여기에서 다음과 같이 상태변수를 정하면.

$$X_1 = V_{c1}, \quad X_2 = V_{c2}, \quad X_3 = V_{c3}, \quad X_4 = i_1, \quad X_5 = i_2, \quad X_6 = i_3 \quad (28)$$

이의 상태행렬은 다음과 같이 된다.

$$\begin{bmatrix} X_1' \\ X_2' \\ X_3' \\ X_4' \\ X_5' \\ X_6' \end{bmatrix} = \begin{bmatrix} 0 & 0 & 0 & -1/C_1 & 0 & 0 \\ 0 & 0 & 0 & 1/C_2 & -1/C_2 & 0 \\ 0 & 0 & 0 & 1/C_3 & -1/C_3 & 0 \\ 1/L_1 & -1/L_1 & 0 & 0 & 0 & 0 \\ 0 & 1/L_2 & -1/L_2 & 0 & 0 & 0 \\ 0 & 0 & 1/L_3 & 0 & 0 & 0 \end{bmatrix} \begin{bmatrix} X_1 \\ X_2 \\ X_3 \\ X_4 \\ X_5 \\ X_6 \end{bmatrix}$$

$$\begin{bmatrix} X_1 \\ X_2 \\ X_3 \\ X_4 \\ X_5 \\ X_6 \end{bmatrix} = \begin{bmatrix} X_1 \\ X_2 \\ X_3 \\ X_4 \\ X_5 \\ X_6 \end{bmatrix} + \begin{bmatrix} 0 \\ 0 \\ 0 \\ 1/L_1 \\ 0 \\ 0 \end{bmatrix} t \quad (29)$$

여기서 t 는 시간미분을 나타낸다.

기본적인 상태방정식 $X' = AX + BU$ 에서.

U 는 입력 신호로서 이 경우 zero matrix

이므로 $\dot{x} = Ax$ 가 되었다. 또한 위의 상태방정식에서 다음과 같은 방정식이 유도되므로 각 상태변수에 관하여 해를 구할 수 있다.

$$\begin{aligned} x(t) &= \phi(t)x(0) + \int_0^t \phi(t-\tau) \\ &\quad x(BU(\tau)d\tau \quad (30) \end{aligned}$$

입력행렬 $U(\tau)$ 는 여기서 영 행렬 이므로,

$$x(t) = \phi(t)x(0) \quad (31)$$

$x(0)$ 는 초기의 전압 전류의 matrix 이므로 결정되어 있고, 따라서 전이행렬 $\phi(t)$ 가 구해지면 이를 위의 식에 대입하여 각 상태변수를 구할 수 있다. 여기서 $\phi(t)$ 를 구하면 다음과 같다.

$$\phi(t) = \text{Exp}(At) \quad (32)$$

이를 series 전개로 풀면 다음과 같이 된다.

$$\begin{aligned} \text{Exp}(At) &= I + At + (At)^2/2! + \dots \\ &= \sum_{n=0}^{\infty} A^n t^n / n! \quad (33) \end{aligned}$$

이 식을 computer를 사용하여 풀면 정확하게 전이행렬의 값을 구할 수 있다.

다음은 전이행렬에서 요구되는 오차를 만족하기 위해서 식(33)에서 몇 째항까지 구해야 하는지에 대하여 설명하겠다. 먼저 전이행렬을 다음과 같이 놓자.

$$\text{Exp}(At) = M + R \quad (34)$$

$$M = \sum_{n=0}^p (A^n T^n / n!) \quad (T=t) \quad (35)$$

$$R = \sum_{n=p+1}^{\infty} (A^n T^n / n!) \quad (36)$$

행렬 $\text{Exp}(At)$ 의 각 요소가 적어도 유효숫자

b 까지 정밀하도록 하면,

$$|r_{ij}| \leq 10^{-b} |m_{ij}| \quad (37)$$

행렬 A의 norm 을 다음과 같이 정의 하면,

$$\text{norm } A = \|A\| = \sum_{i,j=1} \left| a_{ij} \right| \quad (38)$$

이 때,

$$\|A^n\| \leq \|A\|^n, \quad n=1,2,3, \dots \quad (39)$$

이 설정 하므로,

$$|r_{ij}| \leq \sum_{n=p+1}^{\infty} \|A\|^n T^n / n! \quad (40)$$

여기서 식(40) 우변의 두번째 항과 첫번째 항의 비를 ϵ 라 정의하면 다음과 같다.

$$\epsilon = \|A\| T / (p+2) \quad (41)$$

$$\|A\| T / n \leq \epsilon, \quad (n \geq p+2) \quad (42)$$

또한 식(42)을 식(40)에 대입하면 다음과 같다.

$$\begin{aligned} |r_{ij}| &\leq \|A\|^{p+1} T^{p+1} (1+\epsilon+\epsilon^2+\dots) \\ &\quad / (p+1)! \\ &= \|A\|^{p+1} T^{p+1} / [(1-\epsilon)(p+1)!] \\ &= C \|A\| T^{p+1} / [(1-\epsilon)(p+1)!] \quad (43) \end{aligned}$$

오차는 식(43)의 값 보다 작으므로 이 식을 식(37)에 대입하면 요구되는 오차에 대한 항의 수를 결정할 수 있다.

$$C \|A\| T^{p+1} / [(1-\epsilon)(p+1)!] \leq 10^{-b} |m_{ij}| \quad (44)$$

즉 식(44)가 만족 될 때까지 p의 값을 하나씩 증가시켜 나가면 된다. 이 계산에서는 b=7로 하였다.

□ coil 에 흐르는 전류의 파형 조작

그림 3. 의 회로에서 C1, C2 및 C3은 각각 52 μF , 66 μF , 52 μF 으로서 결정되었다. 여기서 L1 및 L2를 적절히 조절하여 coil 전류 i3을 ±1% 범위내에서 84 μsec 정도로 지속하도록 하였다. 조정된 L1 및 L2의 값은 각각 100 μH 및 29 μH 이다. 특히 여기서 L1은 NRL의 design 값 보다 2배 정도 증가시켰다. capacitor들의 초기 충전전압을 2.0 kV로 하면 평판시의 i3은 대략 2.7 kA 정도 이었고 이 전류로서 45° 광 회전이 가능하다.

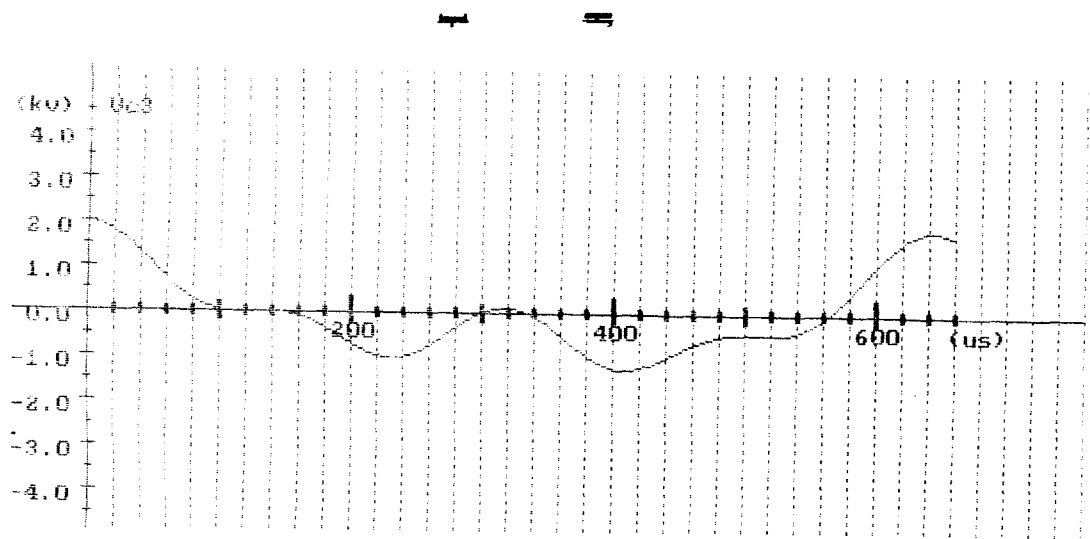
3. 결 론

HOYA FR-5의 Faraday rotator를 통과한 파가 45°의 광회전을 하도록 하기 위해서는 9.8 kG의 자속밀도가 요구된다. 이 자속밀도는 직경 9 cm, 길이 29 cm, 권선수 41회의 coil에 약 2.7 kA의 전류가 흐를 때 생성시킬 수 있다.

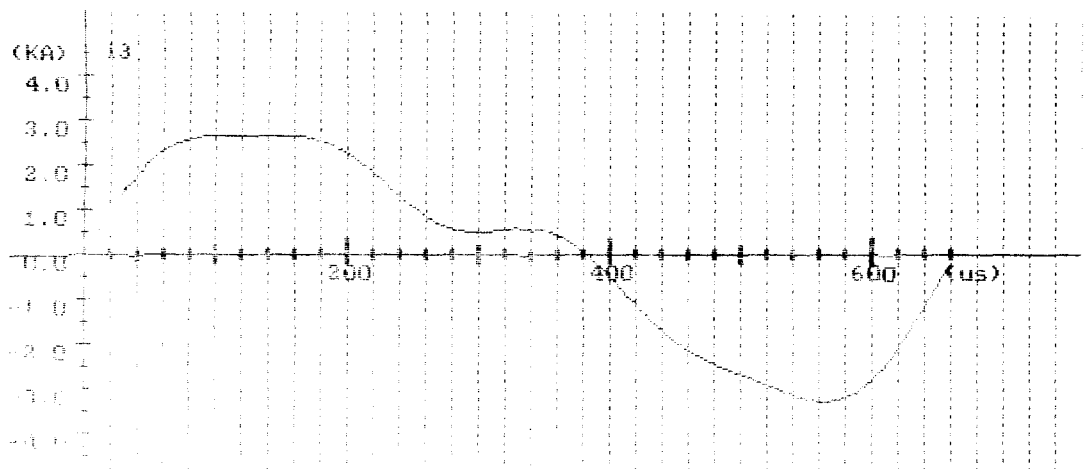
또한 PFN (pulse forming network)에서 이 전류를 흐를 수 있게 하는 초기의 전원을 구하기 위하여 computer 계산 방법에 관하여 설명하였으며, 그 결과 2.0 kV의 전원으로 2.7 kA의 전류를 ±1%의 오차범위 내에서 약 84 μsec 유지할 수 있음을 알았다.

4. 참고 문 헌

1. 이 살 수, 레이저광학, 재판, pp. 168-170.
교학연구사, 1986.
2. Catalog of Hoya Corporation .
3. O. C. BARR, J. M. McMAHON, and J. B. TRENHOLME, " A Large-Aperture High-Extinction-Ratio Faraday-Rotator Isolator," IEEE Journal of Quantum Electronics, vol. QE-- , pp. 1124-1125. (Nov. 1973)
4. S.M. SHINNERS, 전회로 외 3인 번역, 제 4
공학, pp. 57-76. 절문각, Jan. 1987.
5. DONALD M. WIBERG, State Space and Linear
Systems (Schaum's Outline Series), pp.
99-111. McGRAW-HILL, Jun. 1981.



부록 그림 1. rotator 의 coil 에 걸리는 전압의 파형. capacitor C3 에 걸린 전압 V_{C3} 의 초기값은 2.0 kV 이며, $t=0$ 에서 spark gap switch 가 닫힌다. $100 \mu s < t < 150 \mu s$ 사이에서 $V_{C3} \approx 0$, 즉 coil 전류가 거의 일정함을 알 수 있다.



부록 그림 2. rotator coil 에 흐르는 전류의 파형. spark gap ignition 후 약 $2 \mu sec$ 에서 $170 \mu sec$ 동안 균일한 전류(≈ 2.7 kA) 유지된다.